

К АСИМПТОТИЧЕСКОМУ АНАЛИЗУ ДВУМЕРНОГО
ВОЛНОВОГО ПРОЦЕССА ДЕФОРМАЦИИ В ТВЕРДОЙ СРЕДЕ

Ю. К. ЭНГЕЛЬБРЕХТ

(*Таллин*)

Рассматриваются двумерные волновые процессы деформации в твердой среде с учетом физической и геометрической нелинейностей, а также с учетом слабых вязких эффектов (модель Фойнта, модель стандартного вязкоупругого тела). Стятся двумерные уравнения переноса для продольных волн и исследуется искажение волны (импульса конечной длины) в области гладких решений. Исследуется поведение поперечных волн в двумерном случае. Применением метода сингулярных поверхностей к двумерному уравнению переноса проводится асимптотический анализ разрывного решения и выводится уравнение, описывающее поведение разрыва в двумерном пучке для моделей нелинейно-упругого и нелинейно-вязкоупругого тел.

Асимптотика одномерных переходных волновых процессов представлена во многих работах, например [1-6], но двумерные волновые процессы рассмотрены главным образом в рамках нелинейной акустики для газов или жидкостей [7-9]. Для твердой среды задача построения уравнений переноса рассмотрена в [10, 11]. Ниже приводится в асимптотическом приближении детальный анализ двумерного волнового процесса в областях непрерывного и разрывного решений.

1. Рассмотрим процесс деформирования твердой среды согласно математической модели [12] в декартовых координатах

$$\begin{aligned}
 & c_0^2 \left[1 + 3(1+m_0) \frac{\partial U_1}{\partial X_1} \right] \frac{\partial^2 U_1}{\partial X_1^2} + c_1^2 \left(1 + m_1 \frac{\partial U_1}{\partial X_1} \right) \frac{\partial^2 U_1}{\partial X_2^2} + c_2^2 \left(1 + m_2 \frac{\partial U_1}{\partial X_1} \right) \frac{\partial^2 U_2}{\partial X_1 \partial X_2} + \\
 & + n_0 \frac{\partial^3 U_1}{\partial X_1^2 \partial t} + n_1 \frac{\partial^3 U_1}{\partial X_2^2 \partial t} + n_1 \frac{\partial^3 U_2}{\partial X_1 \partial X_2 \partial t} - \frac{\partial^2 U_1}{\partial t^2} = 0 \\
 & c_2^2 \left(1 + m_2 \frac{\partial U_1}{\partial X_1} \right) \frac{\partial^2 U_1}{\partial X_1 \partial X_2} + c_0^2 \left(1 + m_3 \frac{\partial U_1}{\partial X_1} \right) \frac{\partial^2 U_2}{\partial X_2^2} + \\
 & + c_1^2 \left(1 + m_1 \frac{\partial U_1}{\partial X_1} \right) \frac{\partial^2 U_2}{\partial X_1^2} + n_1 \frac{\partial^3 U_1}{\partial X_1 \partial X_2 \partial t} + n_1 \frac{\partial^3 U_2}{\partial X_1^2 \partial t} + \\
 & + n_0 \frac{\partial^3 U_2}{\partial X_2^2 \partial t} - \frac{\partial^2 U_2}{\partial t^2} = 0
 \end{aligned} \tag{1.1}$$

$$c_0^2 = (\lambda + 2\mu) \rho_0^{-1}, \quad c_1^2 = \mu \rho_0^{-1}, \quad c_2^2 = (\lambda + \mu) \rho_0^{-1}$$

$$m_0 = (v_1 + v_2 + v_3) (1/\lambda + \mu)^{-1}, \quad m_1 = (\lambda + 2\mu + v_2 + 3/2 v_3) \mu^{-1}$$

$$m_2 = (\lambda + \mu + 6v_1 + 3v_2 + 3/2 v_3) (\lambda + \mu)^{-1}, \quad m_3 = (\lambda + 6v_1 + 2v_2) (\lambda + 2\mu)^{-1}$$

Здесь λ и μ — параметры Ламэ, v_i ($i=1, 2, 3$) — модули упругости третьего порядка, n_0, n_1 — кинематические модули вязкости, остальные обозначения очевидны. Для более компактной записи далее будем использовать матричную форму уравнений (1.1).

Введем в рассмотрение векторы \mathbf{V} и \mathbf{W} согласно

$$\mathbf{V} = \begin{vmatrix} \partial U_1 / \partial t \\ \partial U_1 / \partial X_1 \\ \partial U_1 / \partial X_2 \end{vmatrix}, \quad \mathbf{W} = \begin{vmatrix} \partial U_2 / \partial t \\ \partial U_2 / \partial X_1 \\ \partial U_2 / \partial X_2 \end{vmatrix}.$$

Тогда (1.1) записывается в виде

$$\begin{aligned} I \frac{\partial \mathbf{V}}{\partial t} + P_1 \frac{\partial \mathbf{V}}{\partial X_1} + P_2 \frac{\partial \mathbf{V}}{\partial X_2} + Q_2 \frac{\partial \mathbf{W}}{\partial X_2} + \\ + G_{10} \frac{\partial^2 \mathbf{V}}{\partial X_1 \partial t} + G_{20} \frac{\partial^2 \mathbf{V}}{\partial X_2 \partial t} + F_{10} \frac{\partial^2 \mathbf{W}}{\partial X_1 \partial t} = 0 \\ I \frac{\partial \mathbf{W}}{\partial t} + R_1 \frac{\partial \mathbf{W}}{\partial X_1} + R_2 \frac{\partial \mathbf{W}}{\partial X_2} + S_2 \frac{\partial^2 \mathbf{V}}{\partial X_2 \partial t} + \\ + E_{10} \frac{\partial^2 \mathbf{V}}{\partial X_1 \partial t} + D_{10} \frac{\partial^2 \mathbf{W}}{\partial X_1 \partial t} + D_{20} \frac{\partial^2 \mathbf{W}}{\partial X_2 \partial t} = 0 \end{aligned} \quad (1.2)$$

где I — единичная матрица, а остальные матрицы легко определяются из коэффициентов уравнений (1.1). Для системы (1.2) ставится краевая задача

$$\mathbf{V}(X_1, X_2, t)|_{x_1=0} = \varphi(X_2, t), \quad \mathbf{W}(X_1, X_2, t)|_{x_1=0} = \psi(X_2, t) \quad (1.3)$$

с нулевыми начальными условиями. Параллельно модели (1.1), в которой вязкость учитывается согласно модели Фойгта, будет рассмотрен также случай стандартного вязкоупругого тела. В этом случае ядро имеет вид

$$G(t-\tau) = \varepsilon_1(\lambda+2\mu) \exp[-(t-\tau)\tau_0^{-1}]$$

где ε_1 — безразмерный параметр, определяющий различие между равновесной (c_{0e}) и мгновенной (c_{0t}) скоростями ($\varepsilon_1 = c_{0t}^2 c_{0e}^{-2} - 1$) и τ_0 — время релаксации.

2. Построим асимптотическое уравнение переноса для продольной волны в направлении X_1 , при этом генерируется или продольная деформация ($\partial U_1 / \partial X_1$) или скорость ($\partial U_1 / \partial t$). Согласно лучевому методу предполагаем

$$\mathbf{V} = \mathbf{V}_0 + \varepsilon \mathbf{V}_1 + \dots, \quad \mathbf{W} = \varepsilon^n (\mathbf{W}_0 + \varepsilon \mathbf{W}_1 + \dots) \quad (2.1)$$

где ε — малый параметр. В задачах теории упругости, имея в виду основные предпосылки при построении уравнений движения, в качестве малого параметра можно взять амплитуду генерируемой деформации. Далее при введении безразмерных величин параметру ε будет дан конкретный вид. Лучевые координаты определяются из линейной ассоциированной задачи [10, 11] в виде $\xi = c_0 t - X_1$, $\tau_1 = \varepsilon X_1$, $\tau_2 = \varepsilon^n X_2$.

Имея в виду слабую вязкость ($G_{10} \sim F_{10} \sim E_{10} \sim D_{10} \sim O(\varepsilon)$, $i=1, 2$) с учетом разложения (2.1), а также вытекающего из него разложения коэффициентов-матриц, система (1.2) получит более простой вид. Принимаем $m=n=1/2$; тогда с точностью $\varepsilon^0, \varepsilon^1$ имеем

$$\begin{aligned} (Ic_0 - P_{10}) \frac{\partial \mathbf{V}_0}{\partial \xi} = 0 \\ \varepsilon_0 (Ic_0 - P_{10}) \frac{\partial \mathbf{V}_1}{\partial \xi} + \varepsilon P_{10} \frac{\partial \mathbf{V}_0}{\partial \tau_1} - P_{11} \frac{\partial \mathbf{V}_0}{\partial \xi} + \varepsilon^{1/2} P_{20} \frac{\partial \mathbf{V}_0}{\partial \tau_2} + \end{aligned} \quad (2.2)$$

$$+\varepsilon Q_2 \frac{\partial \mathbf{W}_0}{\partial \tau_2} - c_0 G_{10} \frac{\partial^2 \mathbf{V}_0}{\partial \xi^2} = 0 \quad (2.3)$$

$$\varepsilon^{1/2} (Ic_0 - R_{10}) \frac{\partial \mathbf{W}_0}{\partial \xi} + \varepsilon^{1/2} S_{20} \frac{\partial \mathbf{V}_0}{\partial \tau_2} - E_{10} c_1 \frac{\partial^2 \mathbf{V}_0}{\partial \xi^2} = 0 \quad (2.4)$$

Здесь индексы 0, 1 у коэффициентов определяют разложения, аналогичные разложению (2.1). Отметим, что в случае жидкой среды $m=1/2$, $n=3/2$ [7, 10]. Теперь из (2.2) вытекает

$$\mathbf{V}_0 = \alpha(\xi, \tau_1, \tau_2) \mathbf{r}_1, \quad \mathbf{r}_1 = \begin{vmatrix} 1 \\ -c_0^{-1} \\ 0 \end{vmatrix}$$

где \mathbf{r}_1 — правый собственный вектор матрицы P_{10} , а из (2.3) и (2.4) вытекает уравнение переноса первого порядка относительно амплитудного фактора

$$\begin{aligned} \frac{\partial}{\partial \xi} R(\alpha) &= c_2^2 c_0^{-2} \frac{\partial^2 \alpha}{\partial \tau_2^2} \\ R(\alpha) &= \frac{\partial \alpha}{\partial \tau_1} + \frac{3(1+m_0)}{2\varepsilon c_0} \alpha \frac{\partial \alpha}{\partial \xi} - \frac{n_0}{2\varepsilon c_0} \frac{\partial^2 \alpha}{\partial \xi^2} \end{aligned} \quad (2.5)$$

которое описывает распространение пучка продольной волны в твердой среде с точностью первого асимптотического приближения согласно лу-чевому методу. Уравнение (2.5) аналогично уравнению Заболоцкой — Хохлова в жидкой среде [7] записано в форме, характеризующей характер процесса. Правая часть уравнения (2.5) описывает поперечное расхождение пучка, а левая содержит главный волновой оператор $R(\alpha)$ вдоль оси пучка, учитывающий структуру уравнения состояния. В случае стандартной вязкоупругой среды главный волновой оператор имеет вид

$$R(\alpha) = \frac{\partial \alpha}{\partial \tau_1} + \frac{3(1+m_0)}{2\varepsilon c_0} \alpha \frac{\partial \alpha}{\partial \xi_e} - \frac{\varepsilon_1}{2\varepsilon} \frac{\partial}{\partial \xi_e} \int_0^{\xi_e} \frac{\partial \alpha}{\partial y} \exp\left(-\frac{\xi_e - y}{c_{0e}\tau_0}\right) dy$$

или

$$\begin{aligned} R(\alpha) &= \frac{\partial \alpha}{\partial \tau_1} + \frac{3(1+m_0)}{2\varepsilon c_0} \alpha \frac{\partial \alpha}{\partial \xi_i} + \\ &+ \frac{\varepsilon_1}{2\varepsilon \tau_0 c_{0i}(1+\varepsilon_1)} \frac{\partial}{\partial \xi_i} \int_0^{\xi_i} \alpha \exp\left(-\frac{\xi_i - y}{c_{0i}\tau_0}\right) dy \end{aligned}$$

выписанные на основе равновесной и мгновенной скоростей соответственно, $\xi_k = c_{0k} t - X_k$, $k=i, e$. В случае других уравнений состояния твердой среды уравнение (2.5) остается в силе, а изменяется структура оператора $R(\alpha)$.

Уравнение (2.5) решается при начальном условии $\alpha(\xi, \tau_1, \tau_2)|_{\tau_1=0} = \mathbf{l}_1 \Phi(\xi, \tau_2)$, $\mathbf{l}_1 = \|0.5, -0.5c_0, 0\|$, где \mathbf{l}_1 — левый собственный вектор матрицы P_{01} , и принимается $\mathbf{l}_1 \cdot \mathbf{r}_1 = 1$. При известном α в области его существования из (2.4) определяется также вектор

$$\mathbf{W}_0 = \mathbf{M} f(\alpha), \quad f(\alpha) = \int_0^{\xi} \frac{\partial \alpha}{\partial \tau_2} d\xi, \quad \mathbf{M} = (Ic_0 - R_{10})^{-1} S_{20} \mathbf{r}_1$$

Согласно проделанному асимптотическому анализу определяются внутри области продольной волны в направлении X_1 следующие компоненты поля деформации:

$$\frac{\partial U_{10}}{\partial t} = \alpha, \quad \frac{\partial U_{10}}{\partial X_1} = -c_0^{-1}\alpha, \quad \frac{\partial U_{20}}{\partial t} = -f(\alpha), \quad \frac{\partial U_{20}}{\partial X_2} = c_0^{-1}f(\alpha) \quad (2.6)$$

Структура системы (1.2) не позволяет прямо определить $\partial U_1/\partial X_2$ и $\partial U_2/\partial X_1$, в этом заключается и недостаток данного асимптотического подхода.

В случае цилиндрической симметрии (ось X_1 совпадает с осью пучка, ось X_2 является радиальной) вместо (2.5) получим

$$\frac{\partial}{\partial \xi} R(\alpha) = c_2^2 c_0^{-1} \left(\frac{\partial^2 \alpha}{\partial \tau_2^2} + \frac{1}{\tau_2} \frac{\partial \alpha}{\partial \tau_2} \right)$$

3. Построим асимптотическое уравнение переноса для поперечной волны в направлении X_1 . Известно [13], что с точностью модели (1.1), с учетом модулей упругости третьего порядка поперечная волна не подвергается подобно продольной волне искажению, обусловленному нелинейными эффектами, и наблюдается лишь нелинейное взаимодействие с продольной волной, если последняя существует. Поэтому целесообразно в первую очередь исследовать линейную модель упругой среды для выявления эффекта дифракционной расходности. Для поворота $\omega = 1/2 (\partial U_2/\partial X_1 - \partial U_1/\partial X_2)$, можно написать также волновое уравнение [14]:

$$c_1^2 \frac{\partial^2 \omega}{\partial X_1^2} + c_1^2 \frac{\partial^2 \omega}{\partial X_2^2} - \frac{\partial^2 \omega}{\partial t^2} = 0$$

Следуя вышеизложенной методике, получим уравнение переноса для поперечной волны с учетом переменных

$$\xi = c_1 t - X_1, \quad \tau_1 = \varepsilon X_1, \quad \tau_2 = \varepsilon^n X_2 \quad (3.1)$$

в виде ($m=1$):

$$R(\alpha) = \frac{\partial \alpha}{\partial \tau_1} = 0, \quad \begin{vmatrix} \frac{\partial \omega / \partial t}{\partial \omega / \partial X_1} \\ \frac{\partial \omega / \partial X_2}{\partial \omega / \partial X_1} \end{vmatrix} = \alpha \begin{vmatrix} 1 \\ -c_1^{-1} \\ 0 \end{vmatrix}$$

т. е. даже в случае равной изменяемости вдоль направлений X_1 , X_2 поперечная волна не подвергается дифракционному расхождению.

Так как компоненты деформации $\partial U_1/\partial X_2$ и $\partial U_2/\partial X_1$, вообще говоря, не разделимы, то построим теперь уравнение переноса для одной компоненты сдвиговой деформации. Пусть при $X_1=0$ генерируется $\partial U_2/\partial X_1 \neq 0$. Примем

$$\mathbf{V} = \varepsilon^n (\mathbf{V}_0 + \varepsilon \mathbf{V}_1 + \dots), \quad \mathbf{W} = \mathbf{W}_0 + \varepsilon \mathbf{W}_1 + \dots$$

и в переменных (3.1) получим теперь при $m=n=1$:

$$(Ic_1 - R_{10}) \frac{\partial \mathbf{W}_0}{\partial \xi} = 0 \quad (3.2)$$

$$\begin{aligned} \varepsilon (Ic_1 - R_{10}) \frac{\partial \mathbf{W}_1}{\partial \xi} + \varepsilon R_{10} \frac{\partial \mathbf{W}_0}{\partial \tau_1} - R_{11} \frac{\partial \mathbf{W}_0}{\partial \xi} + \varepsilon R_{20} \frac{\partial \mathbf{W}_0}{\partial \tau_2} - \\ - \varepsilon S_{20} \frac{\partial \mathbf{V}_0}{\partial \tau_1} - D_{10} c_1 \frac{\partial^2 \mathbf{W}_0}{\partial \xi^2} = 0 \end{aligned} \quad (3.3)$$

$$\varepsilon (Ic_1 - P_{10}) \frac{\partial \mathbf{V}_0}{\partial \xi} + \varepsilon Q_{20} \frac{\partial \mathbf{W}_0}{\partial \tau_2} - F_{10} c_1 \frac{\partial^2 \mathbf{W}_0}{\partial \xi^2} = 0 \quad (3.4)$$

Из (3.2) вытекает

$$\mathbf{W}_0 = \alpha \mathbf{r}_2, \quad \mathbf{r}_2 = \begin{vmatrix} 1 \\ 0 \\ -c_1^{-1} \end{vmatrix}$$

и из (3.3), (3.4) следует уравнение переноса первого порядка в виде

$$R(\alpha) = \frac{\partial \alpha}{\partial \tau_1} - \frac{n_1}{2\epsilon c_1} \frac{\partial^2 \alpha}{\partial \xi^2} = 0 \quad (3.5)$$

Все члены в уравнениях (3.3), (3.4), отвечающие за дифракционную расходимость, оказались вырожденными и согласно первому приближению лучевого метода поперечная волна описывается одномерным уравнением. Начальное условие для уравнения (3.5) вытекает из (1.3) в виде $\alpha(\xi, \tau_1, \tau_2)|_{\tau_1=0} = I_2 \Phi_2(\xi, \tau_2)$, $I_2 = \|0.5 \ 0 \ -0.5 c_1\|$.

Из (3.4) следует, что вектор \mathbf{V}_0 определяется в виде

$$\mathbf{V}_0 = \mathbf{N} f(\alpha), \quad f(\alpha) = \int_0^\xi \frac{\partial \alpha}{\partial \tau_2} d\xi, \quad \mathbf{N} = (I c_1 - P_{10})^{-1} Q_{20} \mathbf{r}_2$$

В результате будем иметь $\partial U_{10}/\partial t = f(\alpha)$, $\partial U_{10}/\partial X_1 = -c_1^{-1} f(\alpha)$.

4. Рассмотрим решение уравнения переноса продольной волны (2.5). Для более компактной записи введем в рассмотрение безразмерные переменные по формулам

$$\beta = \alpha \alpha_0^{-1}, \quad \zeta = \xi \tau_c^{-1}, \quad \eta = \tau_2 b^{-1}, \quad \sigma = 1/2 \tau_1 \tau_c^{-1}, \quad \epsilon = 3 |1 + m_0| \alpha_0 c_0^{-1},$$

которые позволяют определить параметры, управляющие процессом в компактной безразмерной форме. Здесь α_0 — максимальная амплитуда импульса, τ_c — характерная длина импульса, b — эффективная полуширина пучка. В [7] представлено аналитическое решение уравнения (2.5) для случая $R(\alpha) = \partial \alpha / \partial \tau_1$ при начальном условии $\beta(\zeta, \sigma, \eta)|_{\sigma=0} = \exp(-\eta^2) \sin \zeta$.

Решение имеет вид

$$\beta = \exp(-a\eta^2) a^{1/2} \sin(\zeta + \delta), \quad a = (1 + d^2)^{-1} \quad (4.1)$$

$$\delta = -ad\eta^{1/2} + 1/2 \arctan d, \quad d = 4\Delta\sigma, \quad \Delta = c_2^2 c_0^{-2} \tau_c^2 b^{-2}$$

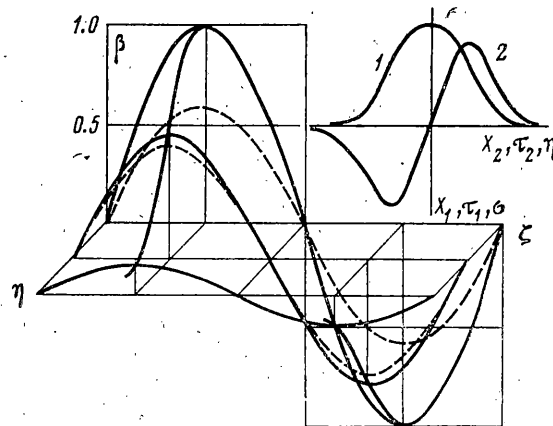
Это решение справедливо в начальной стадии процесса, когда нелинейность еще не сказывается. Оно описывает увеличение ширины пучка (множитель $a^{1/2}$), уменьшение амплитуды (множитель $a^{1/2}$), изменение фазы (сдвиг δ). Увеличение ширины пучка и уменьшение амплитуды имеют монотонный характер при росте пространственной координаты σ . На оси пучка $\eta = 0$ выполняется $\delta > 0$ и величина его ограничена $\delta \leq 1/4\pi$. В области $0 < \eta < 0.5^{1/2}$ возможно появление максимума сдвига при

$$\sigma = \Delta^{-1} \left[-\frac{4}{3} + \left(\frac{16}{9} - \frac{2\eta^2 - 1}{96\eta^2} \right)^{1/2} \right]^{1/2}$$

а в области $\eta > 0.5^{1/2}$ имеем $\delta < 0$ и его абсолютное значение увеличивается монотонно. На основе решения (4.1) проанализируем также генерацию других компонент поля деформации, согласно соотношениям (2.6). Если обозначить $\mathbf{W}_0 = \gamma \mathbf{r}_1$, то для γ получим, согласно (2.6), формулу

$$\gamma = 2\alpha_0 \tau_c \eta a^{1/2} b^{-1} \exp(-a\eta^2) (2 \sin^{1/2}(\zeta + \delta) + d \sin(\zeta + \delta))$$

На фиг. 1 представлена схема поперечного распределения импульсов; кривая 1 соответствует вектору \mathbf{V}_0 , кривая 2 — вектору \mathbf{W}_0 . При $\eta=0$ имеем $\gamma=0$ и γ достигает максимума при $\eta=\pm(2a)^{-1/2}$ (при $X_1=0$ имеем $\eta=\pm 0.5^{1/2}$). Первая часть импульса γ , имеющая множитель $2 \sin^{1/2}(\xi+\delta)$, монотонно убывает с ростом σ ; вторая часть импульса γ , имеющая множитель $d \sin(\xi+\delta)$, достигает максимума при $\sigma=(2\sqrt{6}\Delta)^{-1}$, после чего монотонно убывает. Вне области $\beta \neq 0$ продольная волна в направлении X_2



Фиг. 1, 2

генерируется по начальному распределению, полученному из соотношения (2.6).

В случае $R(\alpha)=\partial\alpha/\partial\tau_1-(n_0/2\epsilon c_0)(\partial^2\alpha/\partial\xi^2)$ решение определяется формулой

$$\begin{aligned}\beta &= \exp(-\Gamma^{-1}\sigma) \exp(-a\eta^2) a^{1/4} \sin(\xi+\delta) \\ \Gamma &= 3|1+m_0|\alpha_0\tau_c n_0^{-1}\end{aligned}\quad (4.2)$$

В случае

$$R(\alpha)=\frac{\partial\alpha}{\partial\tau_1}-\frac{\epsilon_1}{2\epsilon}\frac{\partial}{\partial\xi_e}\int_0^{\xi_e}\frac{\partial\alpha}{\partial y}\exp\left(-\frac{\xi-y}{c_{0e}\tau_0}\right)dy$$

решение в высокочастотной ($Z_e \gg 1$, $Z_e=c_{0e}\tau_0\tau_c^{-1}$) области будет иметь вид

$$\begin{aligned}\beta &= \exp(-\Xi_e Z_e^{-1}\sigma) \exp(-a\eta^2) a^{1/4} \sin(\xi+\Xi_e\sigma+\delta) \\ \Xi_e &= 1/3\epsilon_1 c_{0e}(|1+m_0|\alpha_0)^{-1}\end{aligned}\quad (4.3)$$

а в низкочастотной ($Z_e \ll 1$) области

$$\beta = \exp(-\Xi_e Z_e \sigma) \exp(-a\eta^2) a^{1/4} \sin(\xi+\Xi_e Z_e^2 \sigma+\delta)$$

В решениях (4.2), (4.3) видно влияние диссипации в виде появления дополнительного экспоненциального члена. Кроме того, в случае модели стандартного вязкоупругого тела сдвиг фазы зависит от параметров ϵ_1 и τ_0 .

В случае сильных нелинейных эффектов аналитическое решение уравнения (2.5) неизвестно. В [7] предлагается найти решение задачи распространения звукового пучка в бесдиссипативной жидкой среде методом

малого параметра по степеням Δ^{-1} (случай умеренных нелинейных эффектов) или в виде римановского приближения (случай сильных нелинейных эффектов). В обоих случаях принципиальная структура решения осталась подобной структуре решения (4.1).

В [8, 9] представлены результаты численного интегрирования уравнения (2.5) для задачи распространения звукового пучка в жидкой среде. Представим здесь пример численного интегрирования подобной задачи распространения волны деформации в твердой среде. На фиг. 2 показаны профили продольной волны для стали ($m_0 = -9.55$) при начальном условии

$$\alpha(\xi, \tau_1, \tau_2) |_{\tau_1=0} = \alpha_0 \sin(\tau_0^{-1}\xi) \exp(-\tau_2^2 b^{-2}) [H(\xi) - H(\xi - \tau_0)]$$

где $H(\xi)$ — функция Хевисайда. При этом $b = 0.015$ м, $\alpha_0 = 49$ МПа, $\tau_0 = 0.063$ м. Сплошная линия соответствует начальному импульсу, пунктирная — импульсу при $X_1 = -0.05$ м. Искажение импульса главным образом обусловлено диссипативностью и дифракционной расходимостью.

5. В нелинейной среде, как известно, возможно образование ударной волны (разрыва) при гладких краевых условиях. Проблема определения координаты и времени возникновения разрыва обычно анализируется в одномерной постановке [1, 2], лишь в [7] на основе римановского приближения определена координата возникновения разрыва для звукового пучка. Рассмотрим более подробно эту задачу в свете выведенных уравнений переноса и установим характер развития разрыва.

Введем в рассмотрение предположение, что поперечное распределение в пучке, определенное из линейной задачи, остается асимптотически справедливым до возникновения разрыва. Применение этого предположения оправдывается тем, что согласно [7] высшие гармоники, генерируемые в нелинейной среде, локализуются в приосевой области пучка. Рассмотрим процесс в нелинейной среде с волновым оператором

$$R(\beta) = \frac{\partial \beta}{\partial \sigma} + a_1 \beta \frac{\partial \beta}{\partial \xi}, \quad a_1 = \text{sign}(1+m_0) \quad (5.1)$$

В безразмерных переменных процесс описывается уравнением

$$\frac{\partial R}{\partial \xi} = \Delta \frac{\partial^2 \beta}{\partial \eta^2} \quad (5.2)$$

Следуем методу Уизема [15], согласно которому решение линейной задачи используется для определения характеристик нелинейной задачи. Ищем решения уравнения (5.2) в виде

$$\beta = \beta_1(\xi, \sigma) g(\sigma, \eta) f(\sigma), \quad (5.3)$$

$$g(\sigma, \eta) = \exp(-a\eta^2), \quad f(\sigma) = a^{1/4}$$

коэффициент $a = a(\sigma)$ определен в соотношении (4.1). После интегрирования уравнения (5.2) по ξ и с учетом (5.3), получим для β_1 уравнение

$$\frac{\partial \beta_1}{\partial \sigma} + a_1 \beta_1 \frac{\partial \beta_1}{\partial \xi} fg + \beta_1 \frac{\partial}{\partial \sigma} \ln fg = -2\Delta a (1-2a\eta^2) \int_0^\xi \beta_1 d\xi$$

На основе закона сохранения энергии главный момент импульса остается постоянным и выполняется равенство

$$\int_0^\xi \beta_1 d\xi = \int_0^{\xi_0} \beta_{10}(\xi_0) d\xi = \frac{1}{2} M_0(\xi_0)$$

где $\zeta = \zeta_0$, $\beta_1 = \beta_{10}$ при $\sigma = 0$. Тогда возможно выписать характеристические уравнения и решить их по стандартной методике. Решение в этом случае будет иметь вид

$$\beta_1 = g(0, \eta) (fg)^{-1} [\beta_{10}(\zeta_0) - \Delta M_0 g^{-1}(0, \eta) I_1]$$

$$\zeta = \zeta_0 + a_1 g(0, \eta) \beta_{10}(\zeta_0) \sigma - a_1 \Delta M_0 \int_0^\sigma I_1 d\sigma$$

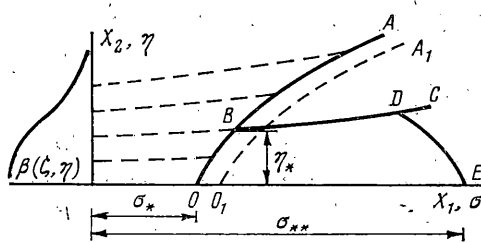
$$I_1 = \int_0^\sigma a(1 - 2a\eta^2) fg d\sigma$$

В случае существования разрыва характеристики должны иметь огибающую [15]. Условие существования огибающей получим дифференцированием уравнения характеристик по ζ_0 . Тогда имеем

$$0 = 1 + a_1 g(0, \eta) \beta_{10}'(\zeta_0) \sigma - a_1 \Delta M_0' \int_0^\sigma I_1 d\sigma$$

где штрих обозначает производную по ζ_0 . Имея в виду, что на фронте $\zeta = 0$ до образования разрыва выполняется $\beta_{10}(\zeta_0) = 0$, получим следующее соотношение для определения координаты разрыва σ_* на фронте: $\sigma_* = -[a_1 \beta_{10}'(\zeta_0) g(0, \eta)]^{-1}$. На оси пучка $\eta = 0$ это совпадает с решением одномерной задачи.

Качественная схема развития разрыва представлена на фиг. 3 (из-за симметрии процесса указана лишь половина пучка с $\eta > 0$). Кривая OA соответствует границе областей непрерывного и разрывного решений,



Фиг. 3

в случае модели нелинейной упругой среды она описывается монотонно изменяющейся функцией. Подобный результат получен для $\Delta \ll 1$ в [1]. Так как амплитуда импульса в случае пространственной задачи уменьшается, то в рамках сделанных предпосылок можно ждать, что действительная граница сдвинута в сторону больших σ (штриховая линия $O_1 A_1$ на фиг. 3).

Пусть теперь $R(\beta) = \partial\beta/\partial\sigma + a_1\beta(\partial\beta/\partial\zeta) + a_2\beta$, где, например, $a_2 = \Xi_e Z_e^{-1}$, согласно высокочастотному процессу (4.3) в стандартном вязкоупругом теле. Аналогично проделанному, условие существования огибающей получит вид (здесь учтено, что $\beta_{10}=0$ при $\zeta=0$):

$$0 = 1 + a_1 a_2^{-1} \beta_{10}'(\zeta_0) g(0, \eta) [1 - \exp(-a_2 \sigma)]$$

Оно выполняется при условии

$$\beta_{10}'(\zeta_0) g(0, \eta) > -a_2 a_1^{-1} \quad (5.4)$$

координата разрыва определяется из формулы

$$\sigma_* = -a_2^{-1} \ln [1 + a_2 (a_1 \beta_{10}'(\zeta_0) g(0, \eta))^{-1}]$$

Если (5.4) выполняется при $\eta=0$, то оно может выполняться до определенной $\eta=\eta_*$, а при $\eta>\eta_*$ решение остается непрерывным. Качественная схема этого случая дается на фиг. 3, где граница разрывной области показана линией $OBDC$, при этом кривая BC лежит на линии равных амплитуд.

Теперь необходимо решить задачу развития разрыва. Рассмотрим волновой оператор (5.1), но воспользуемся разрывными величинами. Записывая уравнение переноса на обеих сторонах разрыва и вычитывая их, получим

$$\left[\frac{\partial R}{\partial \xi} \right] = a_3 \left[\frac{\partial^2 \alpha}{\partial \tau_2^2} \right], \quad [R] = \left[\frac{\partial \alpha}{\partial \tau} \right] + a_1 [\alpha] \left[\frac{\partial \alpha}{\partial \xi} \right] \quad (5.5)$$

где квадратные скобки обозначают разрыв указанной в скобках величины [16]. С учетом кинематических условий совместности [16] и формул перехода на лучевые координаты, получим

$$\frac{d[R]}{dt} = (c_0 - V) \left[\frac{\partial R}{\partial \xi} \right] + \epsilon V \left[\frac{\partial R}{\partial \tau_1} \right]$$

где V — скорость ударной волны. На основе анализа звуковых пучков [7] считаем, что в случае сильных нелинейных эффектов справедливо риманово приближение и поэтому $\alpha = \alpha_1 g(\tau_2)$, где $g(\tau_2)$ определяет попечное распределение в пучке. Тогда имеем $[\partial^2 \alpha / \partial \tau_2^2] = (\partial^2 g / \partial \tau_2^2) [\alpha_1]$.

Считаем также, что $[\partial R / \partial \tau_1]$ медленно изменяющаяся величина. Из решения одномерной задачи известно [17], что выполняется соотношение

$$\epsilon V [R] = g \frac{d[\alpha_1]}{dt} + B g^2 [\alpha_1] \frac{\partial \alpha_1}{\partial \xi} \Big|_{x_1=x_*-0}, \quad B = \frac{3}{4}(1+m_0)$$

где x_* — координата разрыва. Тогда из (5.5) следует уравнение

$$\begin{aligned} \frac{d^2[\alpha_1]}{dt^2} + C_1 \frac{d[\alpha_1]}{dt} + C_2 [\alpha_1]^2 &= 0 \\ C_1 = B g \frac{\partial \alpha_1}{\partial \xi} \Big|_{x_1=x_*-0}, \quad C_2 = -B \epsilon V a_3 \frac{\partial^2 g}{\partial \tau_2^2} \end{aligned} \quad (5.6)$$

Здесь использовано также соотношение $c_0 - V = 3/4(1+m_0)[\alpha]$. Известно, что с точностью одномерной задачи разрыв описывается [17] уравнением первого порядка $d[\alpha]/dt + C_1[\alpha] = 0$. Если волновой оператор имеет вид (5.4), то уравнение (5.6) сохраняет силу с соблюдением условия

$$C_1 = B \left(g \frac{\partial \alpha_1}{\partial \xi} \Big|_{x_1=x_*-0} + \lambda_* \right)$$

где λ_* — критический градиент деформации, определенный из одномерной задачи. Так как в данном случае необходимо определить критический градиент с учетом скорости ударной волны, то он превышает критический градиент, определенный из гладкого решения для установления условия возникновения разрыва [18].

Уравнение (5.6) решается при начальных условиях

$$[\alpha_1]_{t=t_*} = [\alpha_1]_0, \quad \frac{d[\alpha_1]}{dt} \Big|_{t=t_*} = \frac{d[\alpha_1]}{dt} \Big|_0$$

Асимптотический анализ уравнения (5.6) показывает, что при малых временах решение можно аппроксимировать выражением $[\alpha_1] = -A(t) \exp(-C_1 t)$, где $A(t)$ определяется через эллиптическую функцию Бейерштраса.

На основе такого анализа можно утверждать, что основные следствия, полученные из решения одномерной задачи [18], остаются в силе при произвольном выпуклом законе $g(t_2)$ и поведение разрыва управляет качественно значением коэффициента C_1 . Разрывное решение существует в области $\sigma_* < \sigma < \sigma_{**}$ (область OBDE на фиг. 3), что в полном согласии с результатами численного интегрирования [15].

Необходимо отметить, что многомерная задача определения параметров движения в окрестности фронтов волн малой интенсивности в вязко-термомагнитоупругой среде решена в [19], в которой на основе лучевого метода приводятся уравнения для определения скорости частицы. При этом главное внимание уделено термоупругим и магнитоупругим волнам.

Поступила 4 V 1979

ЛИТЕРАТУРА

1. Taniuti T. Reductive perturbation method for far fields of wave equations. Suppl. Progr. Theoret. Phys., 1974, No. 55, p. 1–35.
2. Asano N. Wave propagation in non-uniform media. Suppl. Progr. Theoret. Phys., 1974, No. 55, p. 52–79.
3. Tatsumi T., Tokunaga H. One-dimensional shock turbulence in a compressible fluid. J. Fluid Mech., 1974, vol. 65, pt 3, p. 581–601.
4. Островский Л. А., Пелиновский Е. Н. О приближенных уравнениях для волн в средах с малыми нелинейностью и дисперсией. ПММ, 1974, т. 38, вып. 1.
5. Jeffrey A., Kakutani T. Weak nonlinear dispersive waves: a discussion centered around the Korteweg-de Vries equation. SIAM Review, 1972, vol. 16, No. 4, p. 582–643.
6. Germaine P. Progressive waves. Jahrb. DGLR, 1971; Köln, 1972, p. 11–30.
7. Руденко О. В., Солуян С. И. Теоретические основы нелинейной акустики. М., Наука, 1975.
8. Бахвалов Н. С., Жилейкин Я. М., Заболотская Е. А., Хохлов Р. В. Нелинейное распространение звукового пучка в недиссипативной среде. Акуст. ж., 1976, т. 22, вып. 4.
9. Бахвалов Н. С., Жилейкин Я. М., Заболотская Е. А., Хохлов Р. В. Сфокусированные звуковые пучки конечной амплитуды. Акуст. ж., 1978, т. 24, вып. 1.
10. Engelbrecht J. Theory of nonlinear wave propagation with application to the interaction and inverse problems. Internat. J. Nonlinear Mech., 1977, vol. 12, No. 4, p. 189–201.
11. Энгельбрехт Ю. К. О теории нелинейных волновых процессов в диссипативной среде. Изв. АН СССР, 1977, № 2.
12. Нигул У. К., Энгельбрехт Ю. К. Нелинейные и линейные переходные волновые процессы деформации термоупругих и упругих тел. Таллин, Изд. Ин-т кибернет. АН ЭССР, 1972.
13. Энгельбрехт Ю. К. Нелинейные продольные и поперечные волны в полуупространстве. Теоретична и приложна мех., 1974, № 3.
14. Brejta R., Prokopec M. Síreni napětových vln a rázy v tělesech, Praha, Academia, 1972.
15. Уизем Дж. Линейные и нелинейные волны. М., «Мир», 1977.
16. Томас Т. Пластическое течение и разрушение в твердых телах. М., «Мир», 1964.
17. Энгельбрехт Ю. К. Теория одномерных волн в нелинейных диссипативных средах. Механика полимеров, 1976, вып. 2.
18. Engelbrecht J. One-dimensional deformation waves in nonlinear viscoelastic media. Wave Motion, 1979, vol. 1, No. 1, p. 65–74.
19. Багдоев А. Г. Уравнения нелинейной вязкотермомагнитоупругой среды вблизи фронтов волн. Изв. АН Арм. ССР. Механика, 1974, т. 27, № 1.